

# 이종재 브레이징 접합부에서의 중간재(Filler metal) 두께에 따른 열응력 해석 및 고찰

Thermal stress analysis and consideration by thickness  
of the filler metal of brazing copula

오 환 섭\* 김 성 재 \*\* 김 도 형\*\* 박 래 신\*\*\*

\* 경희대학교 테크노 공학대학 기계공학부

\*\* 경희대학교 대학원

\*\*\* 경희대학교 테크노 공학대학 기계공학부 학생

## 1. 서 론

초경합금과 냉간 가공용 공구강은 기본적 물성의 차이가 크고 사용 중의 큰 충격을 견뎌야 하기 때문에 일반적인 용접방법으로는 불가능하다. 이 경우 일반적으로 Brazing법을 사용하지만 Brazing법에 의해 생성된 두 개의 접합계면은 모두 이종재 접합이므로 냉각시 발생하는 접합계면 주위의 잔류응력으로 쉽게 파괴되는 경우가 있다. 따라서 Brazing에서의 접합강도는 접합계면 및 계면 주위의 잔류열응력에 의하여 결정된다.

이와 관련된 연구결과들을 살펴보면 이종접합재의 접합 짹으로서 알루미나 세라믹과 구리<sup>(1)</sup>, 세라믹과 금속의 브레이징<sup>(2)</sup>의 접합강도 평가와 Insert metal에 대한 연구로서 Cu-7.5%Zr<sup>(3)</sup> Ag-Cu<sup>(4)</sup>가 있다. 또 접합계면의 열처리에 관한 연구<sup>(5)</sup>들도 있다. 그러나 연구결과들을 종합하면 대부분 조직 및 열응력에 관한 연구가 대부분이고 역학적 입장에서 계면검토는 미흡한 실정이며 단편적이고 체계적이지 못하다. 따라서 본 연구는 Filler metal의 두께 고려한 열응력의 거동을 FEM을 이용하여 해석하고 계면 및 계면주위의 응력거동을 고찰하여 Brazing 접합계면 강도평가를 시도하고자 한다.

## 2. Brazing 접합열응력에 대한 FEM을 이용한 응력해석

### 2.1 FEM에 의한 수치해석 및 방법

유한요소해석은 범용구조용 해석프로그램인 ABAQUS를 사용하여 열 탄소성 해석에 의하여 접합과정에서 발생되는 접합 잔류응력을 해석하였으며, 해석 모델은 Fig. 2-1과 같다. SCM440 합금강 부분을 피접합재, 초경합금 부분을 접합재로 하여, Ag계의 Insert metal과 Cu계의 Filler metal로 접합되어 있음을 보여주고 있다. 초경합금과 SCM440 합금강의 접합은 고온(약1100°C)에서 행하여지므로 초기에는 열응

력이 발생하지 않으나, 냉각이 진행되어 브레이징 삽입금속이 강도를 갖게 되면 열팽창계수가 다르므로 접합면에서 열 변형으로 서로 구속하게 되어 열응력이 발생한다. 따라서 본 연구에서는 브레이징 삽입금속이 응고하여 서냉할 경우 발생하는 접합열응력을 해석하였다.

해석 모델에 250°C, 500°C로 온도를 높인 후 다시 상온까지 냉각시키는 방법으로 모든 Node에 하중 대신에 온도를 부하하였을 때의 접합열응력 재 분포에 대하여 해석하였다.

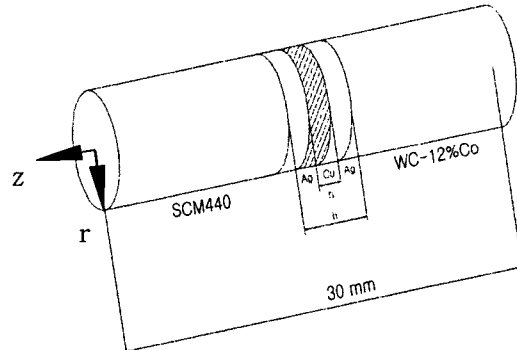


Fig. 2-1. Analysis Model of Case 1

두께 방향 및 축 방향으로의 응력 거동을 해석하기 위하여 실측치를 바탕으로 해석을 시행하였다. 해석에 필요한 온도에 따른 초경합금, SCM440 합금강, Insert metal과 Filler metal의 기계적 성질은 Table. 2-1, 2 와 같다.

Table. 2-1 Mechanical Properties to Brazing Material

Temp (°C)	WC-12%Co			SCM440		
	20	250	500	20	250	500
E (GPa)	615	615	615	210	190	165
$\alpha$ (/ $^{\circ}$ C)	$4.50 \times 10^{-6}$	$4.50 \times 10^{-6}$	$4.50 \times 10^{-6}$	$1.22 \times 10^{-5}$	$1.37 \times 10^{-5}$	$1.46 \times 10^{-5}$
$\nu$	0.27	0.27	0.27	0.3	0.3	0.3

Table. 2-2 Mechanical Properties to Filler and Insert Metal

Temp. (°C)	Cu			Ag		
	20	250	500	20	250	500
E (GPa)	110	100	90	76	65	60
$\alpha$ (/ $^{\circ}$ C)	1.70 $\times$ $10^{-5}$	1.80 $\times$ $10^{-5}$	1.90 $\times$ $10^{-5}$	1.96 $\times$ $10^{-5}$	1.99 $\times$ $10^{-5}$	2.06 $\times$ $10^{-5}$
$\nu$	0.27	0.27	0.27	0.3	0.3	0.3

## 2.2 FEM 해석 결과의 실용성

접합 후 발생되는 접합 잔류 응력에 대하여 X선 측정 장치(XRD)를 이용하여 잔류응력을 측정하였고, 유한 요소 해석한 결과와 비교 검토하였다. 아래 Fig.2-2의 비교결과를 보면 FEM의 결과가 XRD의 측정결과에 비해 열응력이 과대평가되는 경향이 있고 두께가 2.5mm에서 27%, 0.5mm에서 23%의 범위에서 거동이 일치하는 것을 알 수 있다.

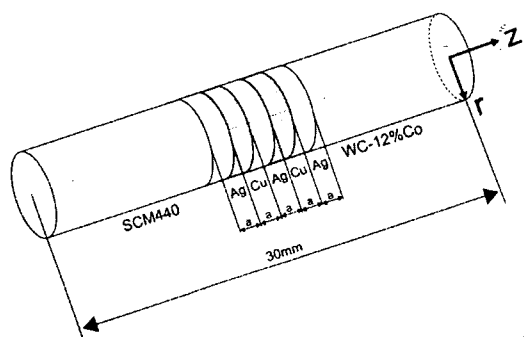
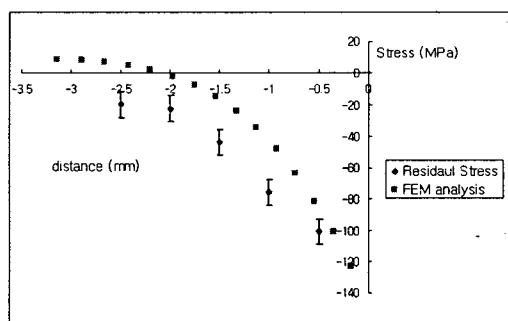
Fig. 2-2 brazing condition( $a=0.2\text{mm}$ )

Fig. 2-3 Comparison between Residual Stress and FEM analysis

## 3. 접합부 열응력 해석 결과 및 고찰

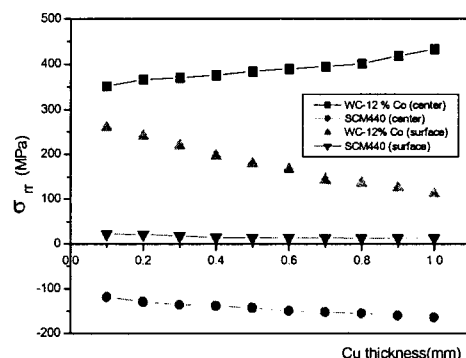
접합 열응력 평가를 목적으로 FEM법용 프로그램인 ABAQUS를 이용하여 Filler metal의 두께를 변화시키면서 접합중심부와 표면부에서의 접합계면의 응력해석을 통하여 접합강도 평가시 예상되는 기초적 사항에 대해 고찰하고자 한다.

### 3.1 접합부 열응력에 대한 Cu계 Filler metal 두께의 영향

접합부 열응력에 대하여 접합 시 열팽창계수의 차이에 의하여 발생하는 접합 잔류응력을 완화시키기 위하여 사용된 Filler 두께의 영향에 대하여 접합 중심부와 표면부에서의 접합 열응력 거동에 대하여 고찰하고자 한다. Filler metal은 Cu를 사용하였는데 이는 온도에 따라서 초경합금 및 SCM440 합금강, 그리고 Insert metal에 비하여 열팽창계수가 작기 때문이다. 하지만 탄성계수는 Insert metal과 비교하여서 큰 값을 보인다. Filler metal 및 Insert metal의 총 두께는 1mm로 하였으며, Insert metal의 두께는 0.2mm로 고정하면서 Filler metal의 두께를 변화시켰다.

### 3.2 반지름방향으로의 열응력 거동

수치해석상 결과는 Fig. 3-1에서와 같이 접합 중앙부에서 반지름 방향으로의 응력성분  $\sigma_{rr}$ 은 Filler metal의 두께가 커질수록 초경합금 부분은 증가하는 경향을 나타내고 있으나 SCM 합금강 부분은 감소하는 경향을 나타내고 있다. 하지만 표면부에서  $\sigma_{rr}$ 은 중앙부와 비교하였을 때 그 값이 매우 작았으며 Filler metal이 커질수록 초경합금 부분이 급격히 감소하는 것을 알 수 있었다. 표면부에서 SCM440 합금강 부분은 반지름 방향으로의 응력성분이 거의 변화가 없었고 그 크기 또한 아주 작은 값을 나타내었다.

Fig. 3-1.  $\sigma_{rr}$  according to Cu thickness of Brazing Case 1

### 3.3 축 방향으로의 열응력 거동

수치 해석상 결과는 Fig. 3-2에서와 같이 축 방향으로의 응력성분  $\sigma_{zz}$ 는 접합 표면부에서 중앙부보다 큰 값을 보임을 알 수 있었다. 접합 중앙부에서는 Filler metal의 두께가 커질수록 초경합금 및 SCM440부분은 증가하는 경향을 보였다. 접합 표면부에서는 Filler metal의 두께가 커질수록 초경합금 부분은 그 값이 작거나마 증가하였으나 SCM440부분은 그 값이 감소하는 경향을 보였다.

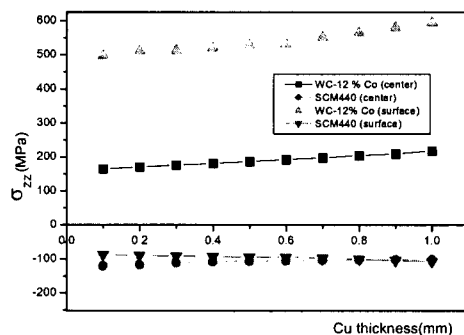


Fig. 3-2.  $\sigma_{zz}$  according to Cu thickness of Brazing Case

### 3.4 열응력 거동에 대한 Von-Mises 응력으로의 고찰

수치해석상 결과는 Fig. 3-3에서와 같이 Filler metal의 두께가 커질수록 접합 표면부 및 중앙부에서 초경합금과 SCM440부분 모두 증가하는 경향을 나타내고 있다. 접합 표면부에서 중앙부보다 큰 값을 보이고 있으므로 파단이 일어나는 곳은 초경합금 부분의 접합 표면부라는 것을 나타낸다.

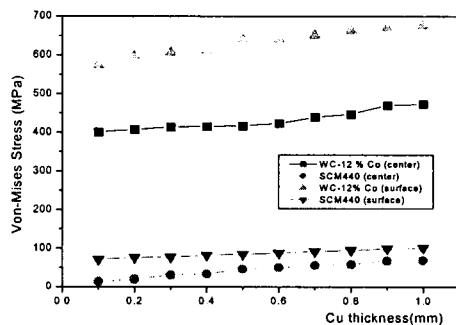


Fig. 3-3. Von-Mises Stress according to Cu thickness of Brazing Case 2

## 4. 결 론

본 연구는 초경합금 / SCM440합금강의 Brazeing

접합강도 평가를 목적으로 X선을 이용한 접합 잔류응력을 측정하였고, FEM 범용 프로그램인 ABAQUS를 이용하여 Filler Metal의 두께가 변화하는 경우, Brazeing 접합방법의 영향에 대하여 해석 검토하였다. 그 결과 얻어진 내용은 아래와 같다.

1) 반지름 방향으로의 응력( $\sigma_{rr}$ )을 해석한 결과 Filler Metal의 두께가 커질수록 초경합금 부분은 응력치가 감소하는 반면, SCM440합금강 부분은 응력치가 증가하였다. 중심부에서의  $\sigma_{rr}$ 이 표면에서보다 큰 값을 보이므로 중심부에서 반지름방향으로의 늘어나려는 거동이 크다는 것을 알 수 있다.

2) 축 방향으로의 응력( $\sigma_{zz}$ )을 해석한 결과 초경합금 부분의 접합 표면부에서 가장 큰 값을 나타내었다. Filler Metal의 두께가 커질수록 약간 증가하는 경향은 볼 수 있었지만 그 증가치의 차이는 그리 크지 않다는 것을 알 수 있다.

3) Von-Mises 응력을 구하여 비교 검토한 결과 초경합금 표면부에서 가장 큰 값을 보였으며 초경합금 및 SCM440 합금강 부분 모두 두께가 커질수록 소폭 증가하는 구배를 보였다. 이는 Filler Metal의 열팽창계수는 다른 금속에 비해 작은 반면 탄성계수치가 Insert Metal 보다 크기 때문이다. 하지만 온도 변화에 따른 Von-Mises 응력의 크기변화가 작기 때문에 Filler Metal의 유용성을 입증하였다.

## 참 고 문 헌

- 1) 양영수, 전창훈, 나석주, “알루미나 세라믹과 구리의 브레이징 접합물에 대한 열응력의 유한요소법 해석에 관한 연구” 대한기계학회논문집 제14권 제3호, pp. 547-553, 1990
- 2) 구형희, 이대길, 이수정, 정명영, “세라믹-금 속 브레이징 접합조인트의 고온 접합강도에 관한 연구” 대한기계학회논문집(A) 제20권 제2호 pp 520-528, 1996
- 3) 김병무, 한원진, 강정윤, 이상래, “Cu-7.5%wt Zr 삽입 금속을 이용한 Al<sub>2</sub>O<sub>3</sub>-STS 304 접합체 계면 조직에 관한 연구” 대한용접학회지 제11권 제1호, pp 62-72, 1993
- 4) 김종현, 유연철, “알루미나/Ag-Cu-Zr-Sn 브레이징 합금계면의 미세조직” 소성·가공 제7권 제5호, pp 481-488, 1998
- 5) 정하윤, 박경채, 김종철, “WC-9%Co와 SUJ2 강의 접합특성에 미치는 열처리의 영향” 대한용접학회지 제15권 제5호 pp 55-63, 1997